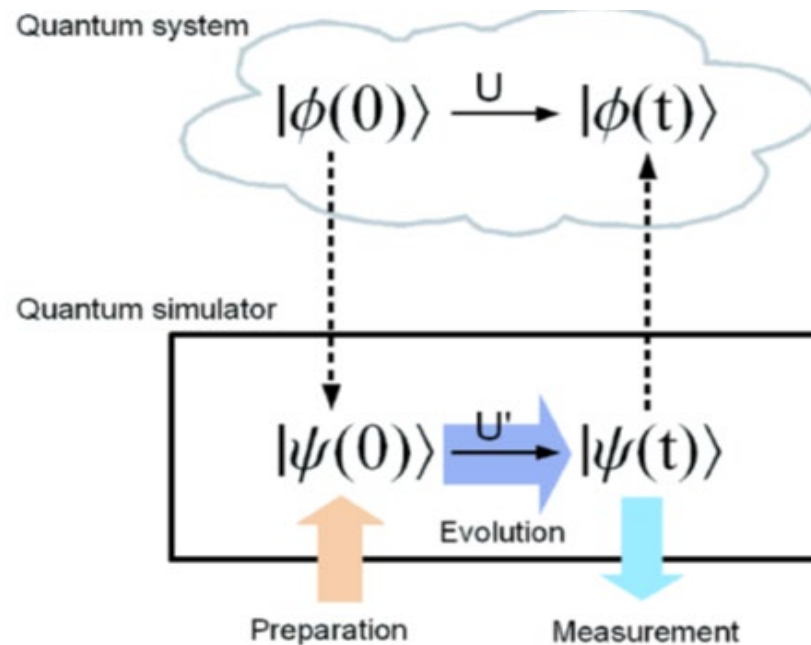


Моделирование квантовых вычислений с применением тензорных сетей на примере спиновой динамики одномерной ХХЗ модели.

Л. Сюракшина¹, В. Юшанхай²

¹ЛИТ им. М.Г.Мещерякова, ²ЛТФ им. Н.Н.Боголюбова



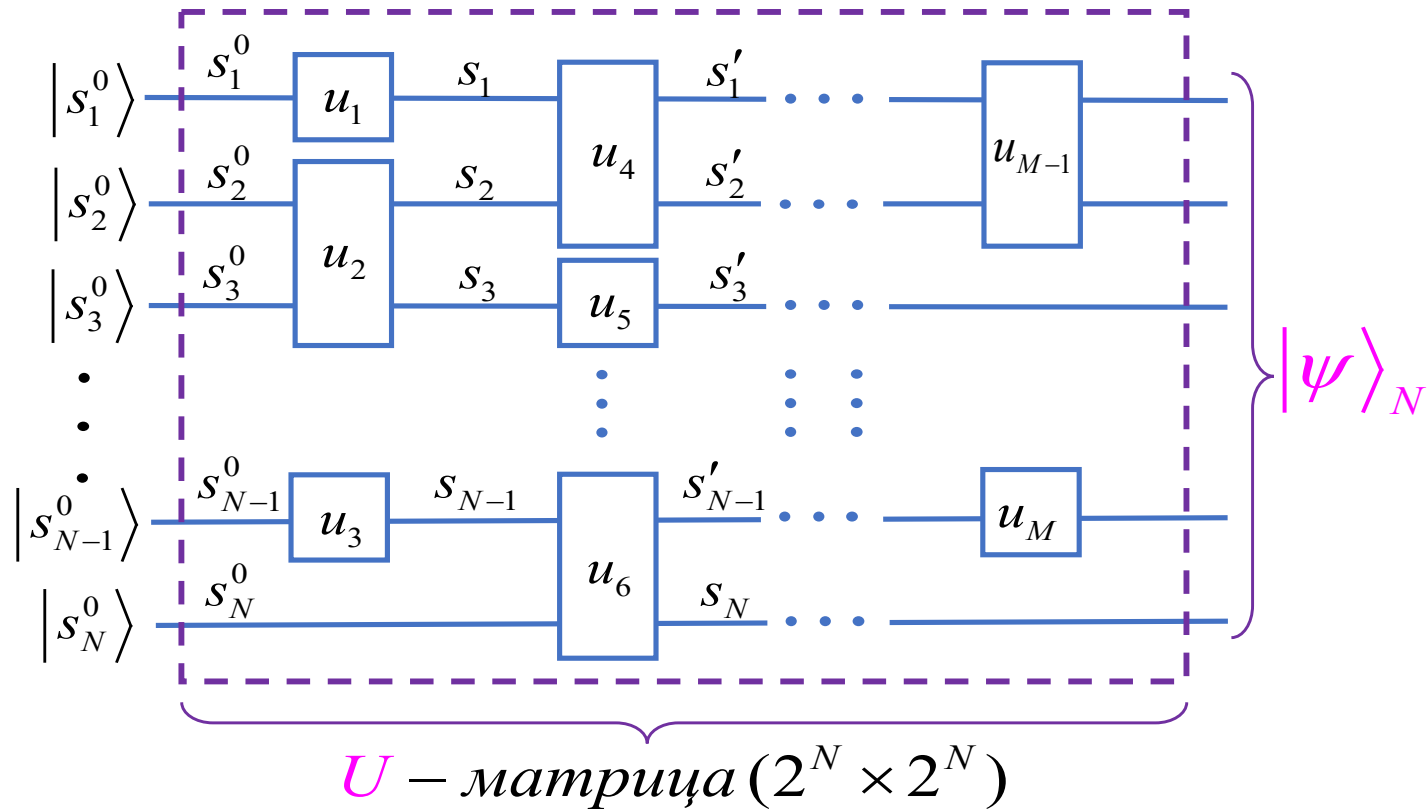
19 марта 2025

План:

1. От квантовой схемы к тензорной сети
2. Тензорная сеть для спиновой модели: основные определения
3. Тензорная сеть: графическое представление
 - a) MPS – тензорное представление векторов квантового состояния
 - b) MPO – тензорное представление оператора
4. Временная эволюция замкнутой квантовой системы
5. Унитарная эволюция спиновой системы
6. Квантовое моделирование динамики в режиме закалки в изолированных системах

1. От квантовой схемы к тензорной сети

$$|\psi\rangle_N = U |\psi^{(0)}\rangle_N, \quad |\psi\rangle_N = \sum_{\{s_i\}} \psi_{s_1 s_2 \dots s_N} |s_1 s_2 \dots s_N\rangle, \quad s_i = \{0, 1\}$$

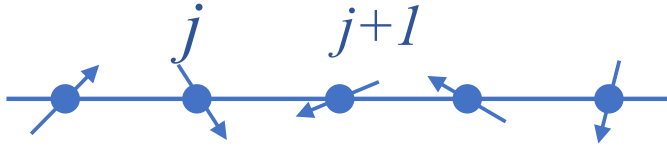


$$U = \prod_{k=1}^M u_k = (u_M u_{M-1}) \dots (u_6 u_5 u_4) (u_3 u_2 u_1),$$

$$[u_1]_{s_1 s_1^0}, \quad [u_2]_{s_3 s_2, s_3^0 s_2^0} \quad \text{и т.д.}$$

2. Тензорная сеть для спиновой модели: основные определения

Одномерная спиновая ($s=1/2$) модель с АФМ взаимодействием:



$$H_{\text{XXZ}} = J \sum_j \left(\sigma_j^x \sigma_{j+1}^x + \sigma_j^y \sigma_{j+1}^y \right) + J_z \sum_j \sigma_j^z \sigma_{j+1}^z$$

Тензорное представление модели:

MPS (matrix product states) / **MPO** (matrix product operators)

$$|\psi\rangle_N = \sum_{\{s_i=0,1\}} \psi_{s_1 s_2 \dots s_N} |s_1 s_2 \dots s_N\rangle,$$

$$\psi_{s_1 s_2 \dots s_{N-1} s_N}^{\text{MPS}} = \sum_{a_1 \dots a_N} A_{s_1, a_1}^{[1]} A_{s_2, a_1 a_2}^{[2]} \dots A_{s_{N-1}, a_{N-2} a_{N-1}}^{[N-1]} A_{s_N, a_{N-1}}^{[N]},$$

$$A_{s_j, a_{j-1} a_j}^{[j]} \equiv A_{a_{j-1} a_j}^{s_j}$$

Индексы: $s_j (= 0, 1)$ - физические,

$a_j (= 1, 2, \dots, \chi)$ - геометрические или виртуальные.

Для фиксированного s_j : $\left[A_{a_{j-1} a_j}^{s_j} \right]$ - матрица $(\chi \times \chi)$, где χ - размерность связи

Полное число параметров 2^N в $\psi_{\{s_j\}}$ редуцируется до $2N\chi^2$ в $\psi_{\{s_j\}}^{\text{MPS}}$

3. Тензорная сеть: графическое представление

а) вектор квантового состояния в $\mathcal{H}_2^{\otimes N}$ в представлении MPS (matrix product states):

The diagram shows the MPS representation of a quantum state $|\psi\rangle_N$ and its adjoint ${}_N\langle\psi|$. The state $|\psi\rangle_N$ is represented by a chain of tensors $A^{[1]}, A^{[2]}, A^{[3]}, \dots, A^{[N]}$ connected by horizontal lines labeled a_1, a_2, \dots . Each tensor $A^{[i]}$ has a vertical line extending downwards to a physical index s_i . The adjoint state ${}_N\langle\psi|$ is represented by a chain of tensors $A^{[1]+}, A^{[2]+}, A^{[3]+}, \dots, A^{[N]+}$ connected by horizontal lines labeled a_1', a_2', \dots . Each tensor $A^{[i]+}$ has a vertical line extending upwards to a physical index s_i' .

$$A^{[1]} \xrightarrow{a_1} A^{[2]} \xrightarrow{a_2} A^{[3]} \cdots A^{[N]} = |\psi\rangle_N$$

$${}_N\langle\psi| = A^{[1]+} \xrightarrow{a_1'} A^{[2]+} \xrightarrow{a_2'} A^{[3]+} \cdots A^{[N]+}$$

Скалярное произведение и нормировка:

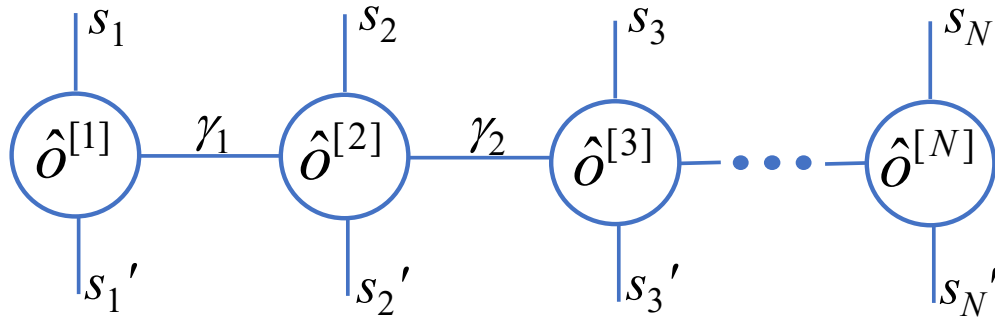
The diagram shows the inner product of the MPS state and its adjoint. It consists of two rows of tensors. The top row is $A^{[1]}, A^{[2]}, A^{[3]}, \dots, A^{[N]}$ with physical indices $s_1, s_2, s_3, \dots, s_N$ pointing downwards. The bottom row is $A^{[1]+}, A^{[2]+}, A^{[3]+}, \dots, A^{[N]+}$ with physical indices $s_1, s_2, s_3, \dots, s_N$ pointing upwards. The horizontal lines between the two rows are labeled a_1, a_2, \dots and a_1', a_2', \dots respectively. The result of the contraction is the inner product ${}_N\langle\psi|\psi\rangle_N = 1$.

$$A^{[1]} \xrightarrow{a_1} A^{[2]} \xrightarrow{a_2} A^{[3]} \cdots A^{[N]} = {}_N\langle\psi|\psi\rangle_N = 1$$

3. Тензорная сеть: графическое представление

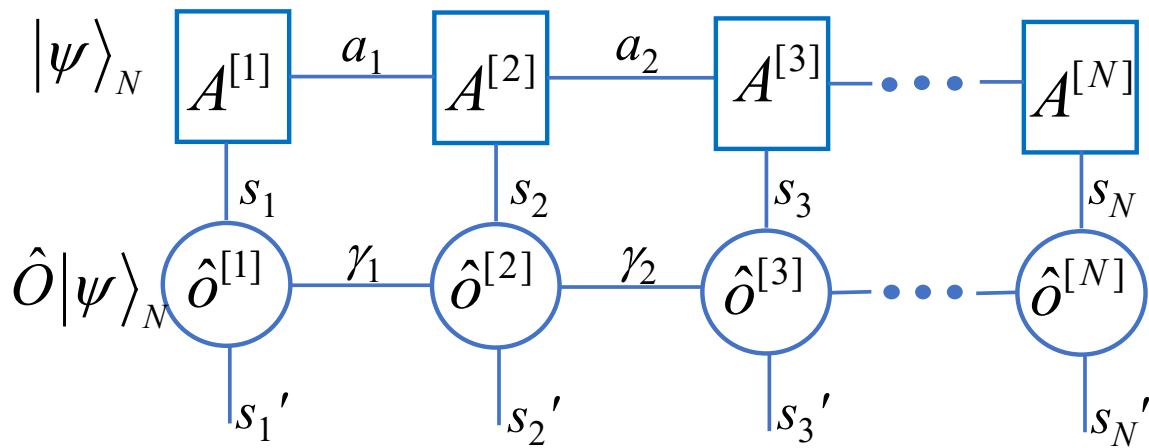
b) MPO (matrix product operator) – тензорное представление оператора:

$$\hat{O} = \sum_{\{s_j\}} \sum_{\{s_j'\}} |s_1 s_2 \dots s_N\rangle O_{s_1 s_2 \dots s_N, s_1' s_2' \dots s_N'} \langle s_1' s_2' \dots s_N' |$$



$$\hat{O} \sim \prod_{j=1}^N \hat{o}^{[j]}, \quad \gamma_j = 1, 2, \dots, w$$

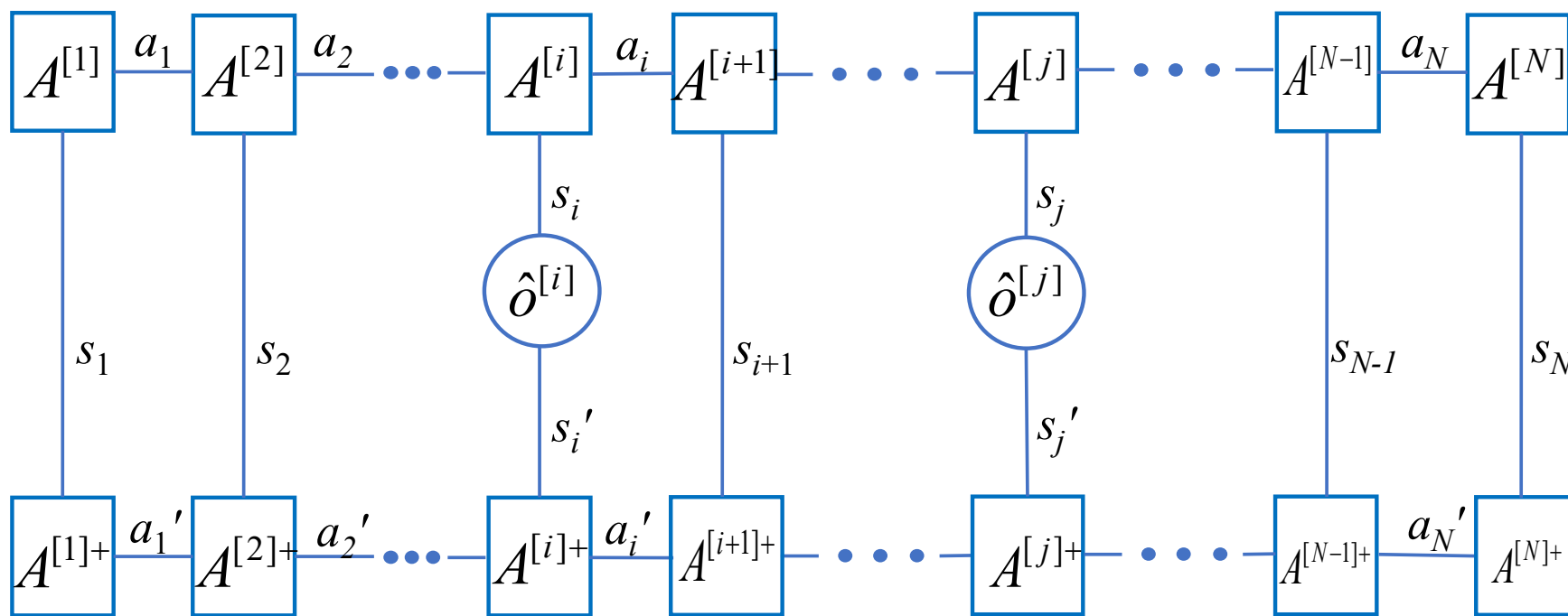
Действие оператора \hat{O} на вектор $|\psi\rangle_N$:



Среднее значение оператора \hat{O} по состоянию $|\psi\rangle_N$:

пусть $\hat{O} \sim \hat{o}^{[i]}\hat{o}^{[j]}$

$${}_N\langle\psi|\hat{o}^{[i]}\hat{o}^{[j]}|\psi\rangle_N =$$



4. Временная эволюция замкнутой квантовой системы

Два способа описания квантовой динамики замкнутой системы взаимодействующих частиц:

1) решение уравнения Шредингера:

$$\frac{\partial |\psi(t)\rangle}{\partial t} = \hat{H} |\psi(t)\rangle \quad \Longrightarrow \quad |\psi(t)\rangle = e^{-i\hat{H}t} |\psi(0)\rangle, \quad (\hbar = 1)$$

2) решение квантового уравнения Лиувилля для матрицы плотности:

$$i \frac{\partial \hat{\rho}(t)}{\partial t} = [\hat{H}, \hat{\rho}(t)] \quad \Longrightarrow \quad \hat{\rho}(t) = e^{-i\hat{H}t} \hat{\rho}(0) e^{i\hat{H}t}$$

Для чистого квантового состояния: $\hat{\rho}(0) = |\psi(0)\rangle \langle \psi(0)|$, оба способа

эквивалентны и $\langle \psi(t) | \hat{O} | \psi(t) \rangle = \text{Tr} [\hat{\rho}(t) \hat{O}]$

Нас интересует унитарная эволюция для замкнутой системы без диссипации:

$$|\psi(0)\rangle \xrightarrow{\hat{U}(t) = e^{-i\hat{H}t}} |\psi(t)\rangle$$

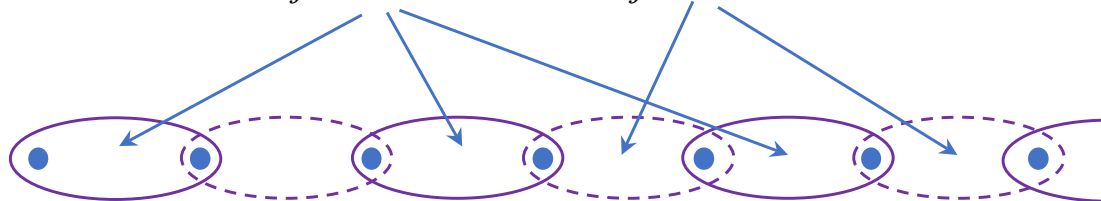
5. Унитарная эволюция спиновой системы

Для спиновой XXZ модели:

$$H_{\text{XXZ}} = J \sum_{j=1}^N \left(S_j^x S_{j+1}^x + S_j^y S_{j+1}^y + g S_j^z S_{j+1}^z \right)$$

разобьем сумму на нечетные и четные пары связей:

$$H_{\text{XXZ}} = \sum_{j \in \text{нечетн}} \hat{h}_{j,j+1} + \sum_{j \in \text{четн}} \hat{h}_{j,j+1} \equiv \hat{H}_1 + \hat{H}_2$$

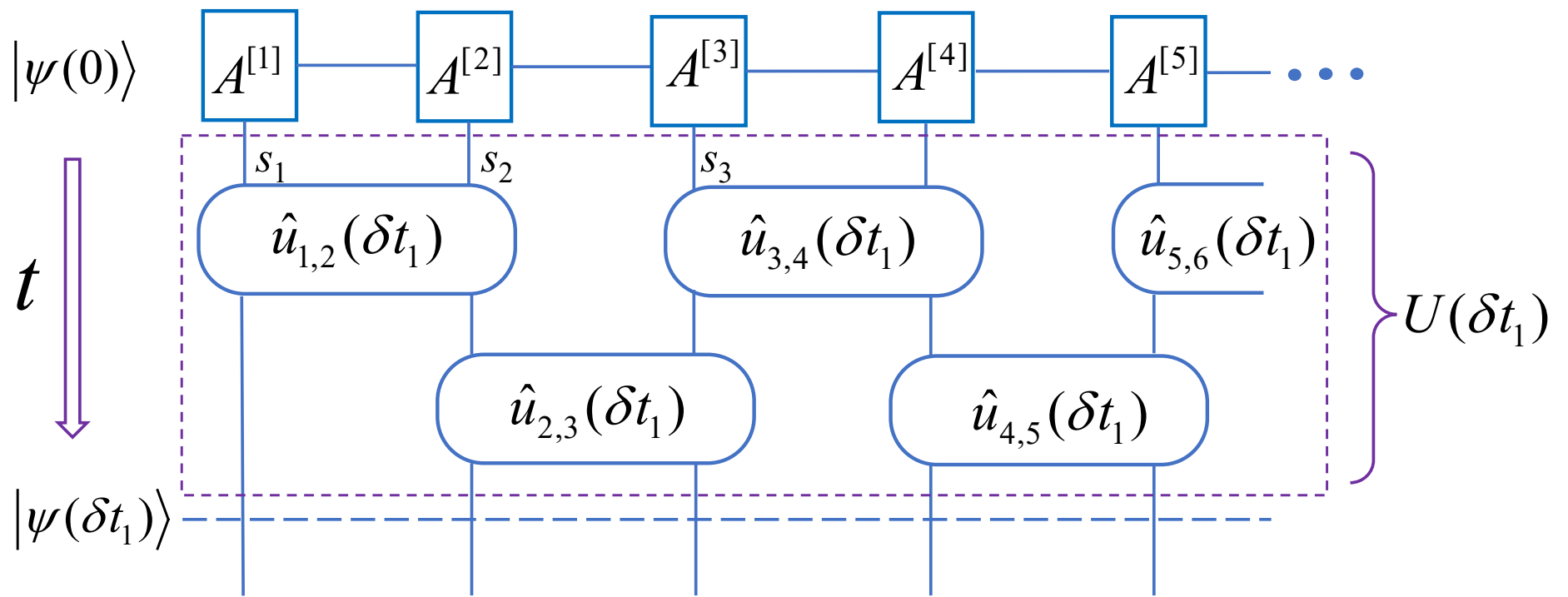


учтем, что внутри каждой из сумм $\hat{h}_{j,j+1}$ коммутируют, но $[\hat{H}_1, \hat{H}_2] \neq 0$.

Разобьем время эволюции t на большое число шагов: $\mathcal{N} = t / \delta t$

$$e^{-i\hat{H}t} = e^{-i\hat{H} \sum_{n=1}^{\mathcal{N}} \delta t_n} = \prod_{n=1}^{\mathcal{N}} e^{-i\hat{H} \delta t_n} = \prod_{n=1}^{\mathcal{N}} \hat{U}(\delta t_n)$$

$$\hat{U}(\delta t_n) = e^{-i(\hat{H}_1 + \hat{H}_2)\delta t_n} \underset{\substack{\text{приближение} \\ \text{Сузуки-Троттера}}}{\approx} e^{-i\hat{H}_1 \delta t_n} e^{-i\hat{H}_2 \delta t_n} = \prod_{j \in \text{нечетн}} \hat{u}_{j,j+1}(\delta t_n) \prod_{j \in \text{четн}} \hat{u}_{j,j+1}(\delta t_n)$$



На каждом троттеровском шаге δt_n выполняется операция

$$\hat{U}(\delta t_n) \approx \prod_{j \in \text{нечетн}} \hat{u}_{j,j+1}(\delta t_n) \prod_{j \in \text{четн}} \hat{u}_{j,j+1}(\delta t_n),$$

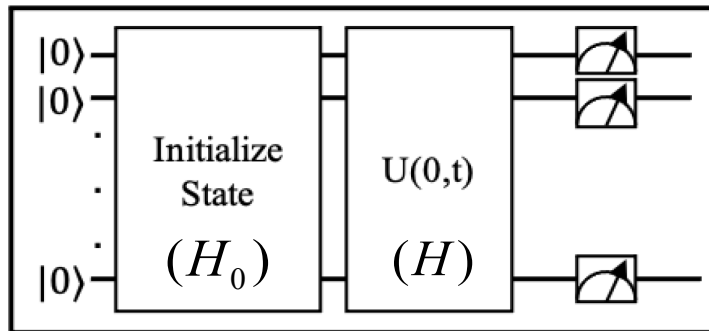
графически обозначена выделенным блоком.

Полная унитарная эволюция $|\psi(t)\rangle = \hat{U}(t)|\psi(0)\rangle$ сведена к последовательному выполнению $\mathcal{N} = t/\delta t$ идентичных операций $\hat{U}(t) = \prod_{n=1}^{\mathcal{N}} \hat{U}(\delta t_n)$.

6. Моделирование неравновесной динамики спиновой системы в режиме «закалки»

Закалка происходит в материале при **резком (неадиабатическом) изменении**:

- (а) его окружения (т. е. внешнего статического поля);
- (б) значения параметров модели.



$$(t > 0) \quad H = H_0 + \Delta H = \sum_{l=1}^L H_l$$

Динамика XXZ-модели со спином 1/2

$$H(t) = J \sum_{i=1} \left(\sigma_i^x \sigma_{i+1}^x + \sigma_i^y \sigma_{i+1}^y + g \sigma_i^z \sigma_{i+1}^z \right)$$

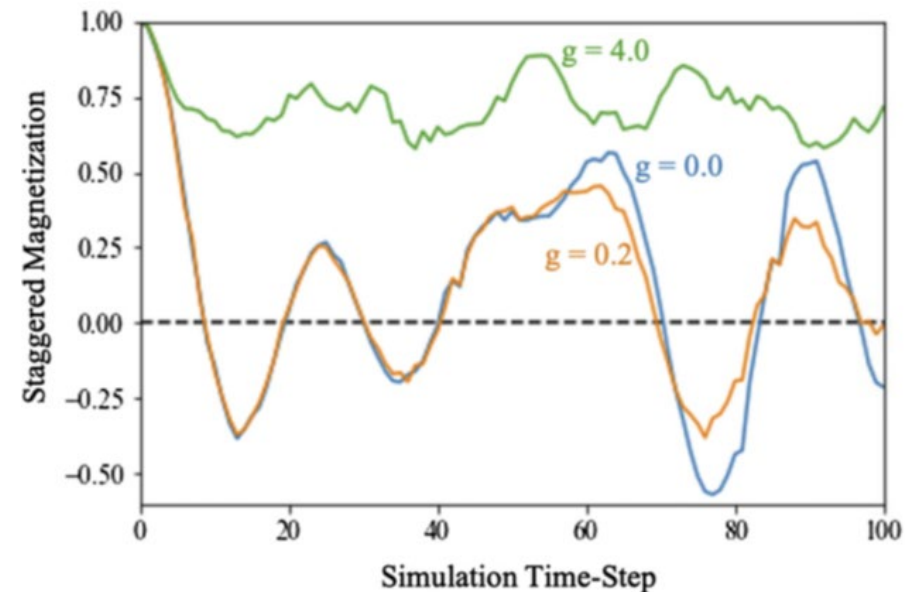
$$|\psi_0\rangle = |\uparrow\downarrow\uparrow \dots \downarrow\uparrow\downarrow\rangle$$

Параметр анизотропии g запускает квантовый фазовый переход между

- фазой «жидкость Латтинжера» ($0 < g < 1$) и
- Изинг-упорядоченной АФМ фазой, ($g > 1$).

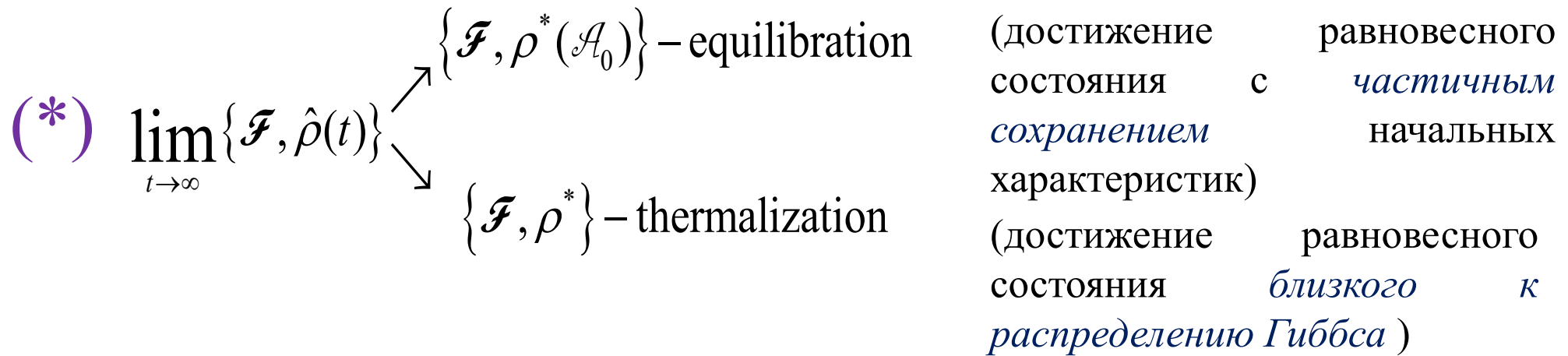
(L. Ofeltie, et al., Quant. Sci & Tech., 2021)

$$m_s(t) = \frac{1}{N} \sum_i (-1)^i \langle \sigma_i^z(t) \rangle$$



V.I. Yukalov. *Equilibration and thermalization in finite quantum systems*.
 Laser Phys. Lett. 8, 485 (2011).

Для квантового статистического ансамбля $\{\mathcal{F}, \hat{\rho}(t)\}$ существует два общих сценария:



$$\mathcal{A}_0 \equiv \left\{ \left\langle \hat{A}(0) \right\rangle \right\}, \quad \text{и} \quad \left\langle \hat{A}(t) \right\rangle = \text{Tr} \hat{A} \hat{\rho}(t).$$

Можно ли все это увидеть из унитарной временной эволюции изолированной низкоразмерной системы со спином 1/2?

R. Jensen and R. Shankar,

Statistical Behavior in Deterministic Quantum Systems with Few Degrees of Freedom. Phys.Rev.Lett. 1985.

Рассмотрим решение квантового уравнения Лиувилля:

$$\frac{\partial \hat{\rho}(t)}{\partial t} = -i[H, \hat{\rho}(t)]; \quad \hat{\rho}(0) = |\psi_0\rangle\langle\psi_0| \equiv \hat{\rho}^{\psi_0} \quad |\psi_0\rangle = |\uparrow\downarrow\uparrow \dots \downarrow\uparrow\downarrow\rangle$$

$$H = H_{XXZ} = J \sum_j \left[\sigma_j^x \sigma_{j+1}^x + \sigma_j^y \sigma_{j+1}^y + g \sigma_j^z \sigma_{j+1}^z \right] \quad (g \geq 0)$$

Рассмотрим временную эволюцию АФМ параметра порядка:

$$\langle \hat{m}_s(t) \rangle = \text{Tr}(\hat{m}_s \hat{\rho}(t)); \quad \hat{m}_s = \frac{1}{N} \sum_j (-1)^j \hat{\sigma}_j^z$$

и временную зависимость продольного коррелятора:

$$G^{zz}(l, t) = \frac{1}{N} \sum_j \left[\langle \hat{\sigma}_{j+l}^z(t) \hat{\sigma}_j^z(t) \rangle - \langle \hat{\sigma}_{j+l}^z \rangle \langle \hat{\sigma}_j^z \rangle \right]$$

Три равновесные фазы :

$$(i) \quad g = 0, \quad H_{XX} = \frac{J}{2} \sum_j \left[c_j^+ c_{j+1} + c_{j+1}^+ c_j \right]$$

свободные бесспиновые фермионные квазичастицы;

$$(ii) \quad 0 < g < 1, \quad H_{XXZ} = H_{XX} + gJ \sum_j c_j^+ c_j c_{j+1}^+ c_{j+1}$$

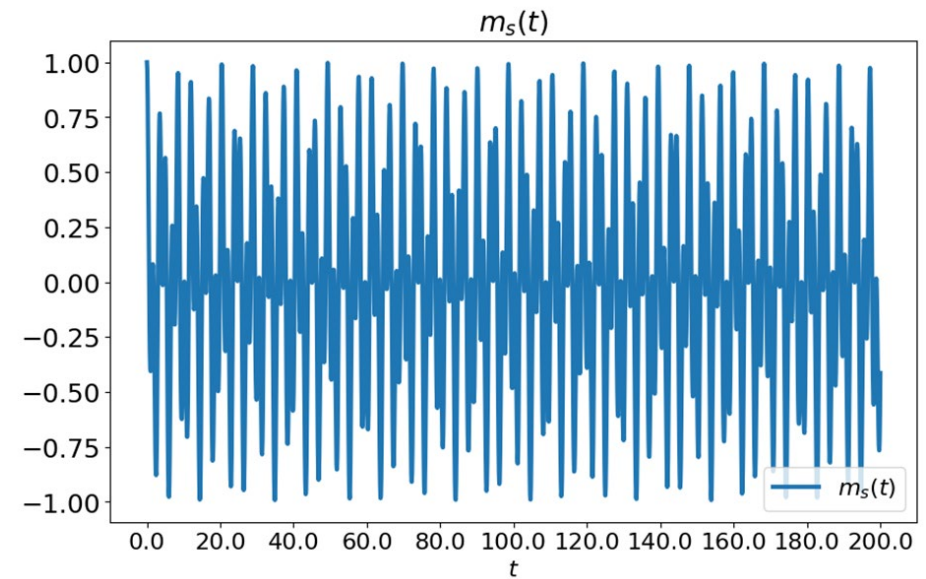
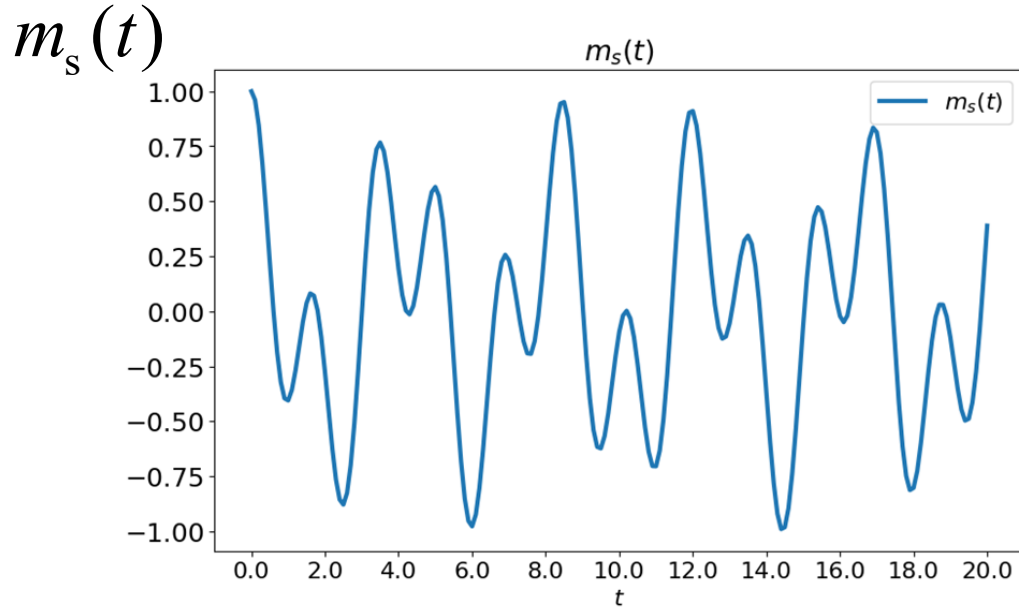
взаимодействующие квазичастицы;

(iii) при $g=1$, квантовый фазовый переход в Изинг-упорядоченное АФМ состояние для $g > 1$.

$$H = H_{XXZ} = J \sum_j \left[\sigma_j^x \sigma_{j+1}^x + \sigma_j^y \sigma_{j+1}^y + g \sigma_j^z \sigma_{j+1}^z \right]$$

$$(i) g=0$$

$$[t] = \hbar / J$$

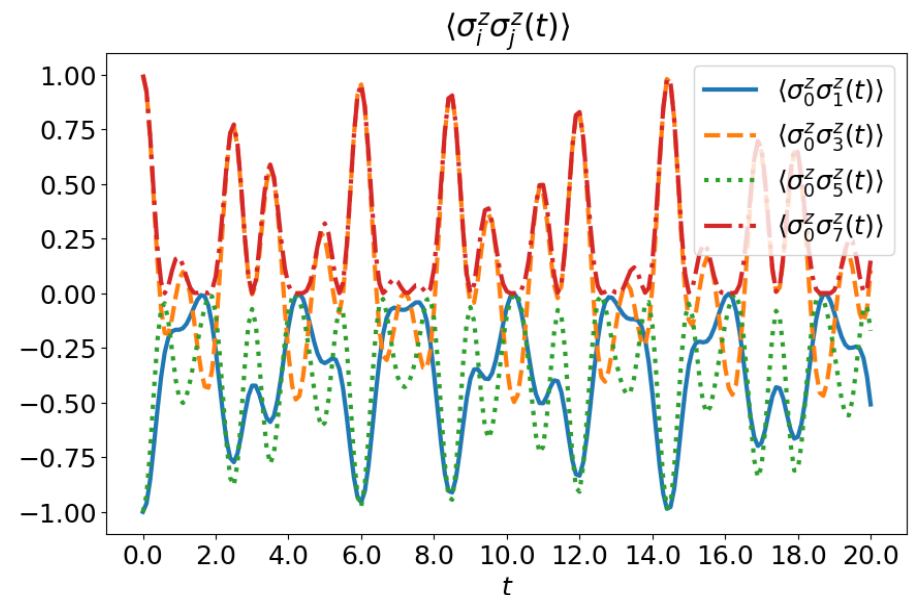


- Колебания с несколькими дискретными ($n=1,2,3$) частотами

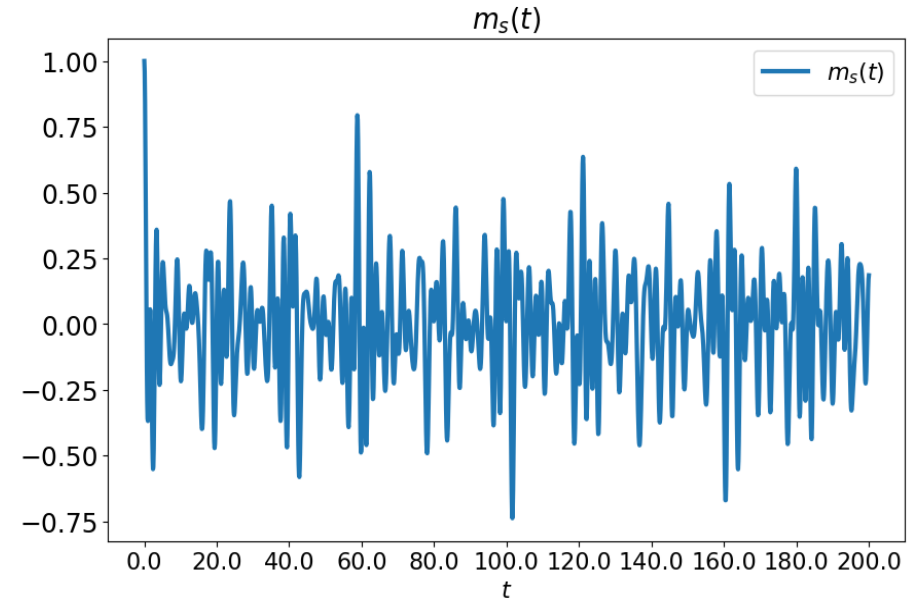
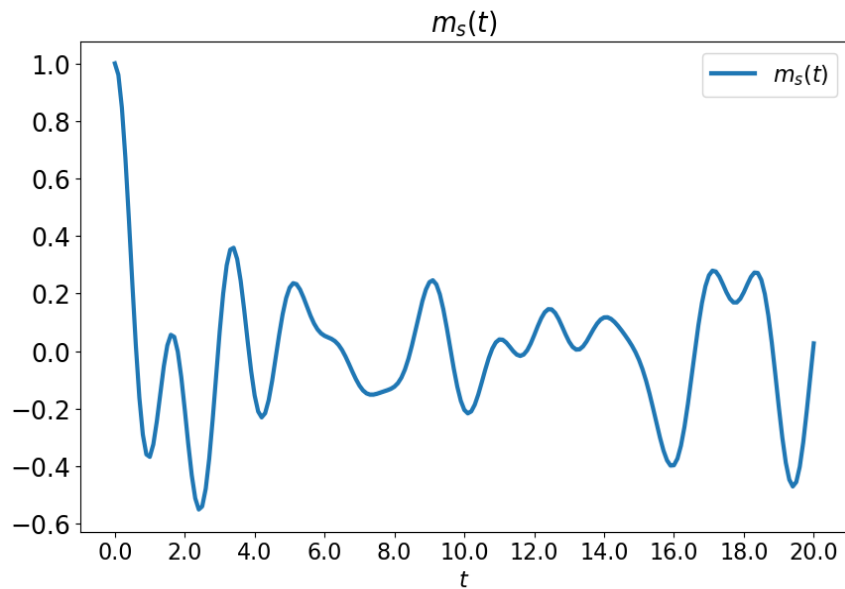
$$\omega_n \approx nJ$$

- Отсутствие видимых признаков распада в течение длительного времени.

- Суперпозиция АФМ и ФМ корреляций.

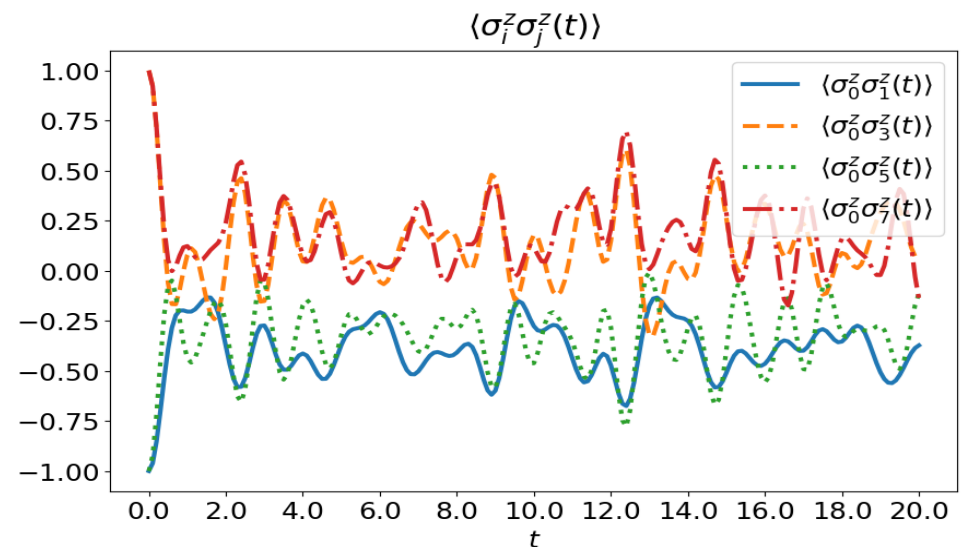


(ii) $g = 0.4$



Аналогичные свойства, как и для $g=0$, однако:

- сильное подавление в начальный переходный период,
- ослабление AFM и FM корреляций



$$E^g = \langle \psi_0 | \hat{H}(g) | \psi_0 \rangle = \sum_n E_n |\langle \psi_0 | n \rangle|^2$$

$$\hat{H} | n \rangle = E_n | n \rangle$$

$$\langle \hat{m}_s(t) \rangle = \text{Tr}[\hat{m}_s \hat{\rho}(t)] = \sum_n \rho_{nn}^{\psi_0} \langle n | \hat{m}_s | n \rangle + \sum_{k \neq n} \rho_{kn}^{\psi_0} \langle n | \hat{m}_s | k \rangle e^{i(E_n - E_k)t},$$

$$\rho_{kn}^{\psi_0} \equiv \langle k | \psi_0 \rangle \langle \psi_0 | n \rangle \quad \text{перекрытие } |\psi_0\rangle \text{ с } \{|n\rangle\}.$$

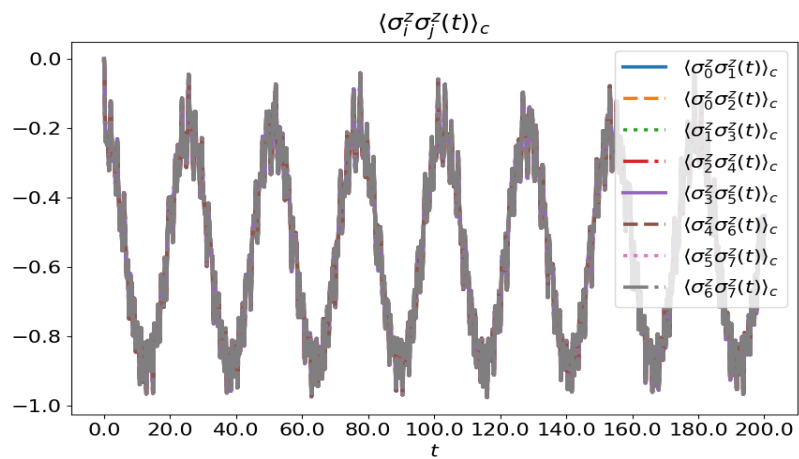
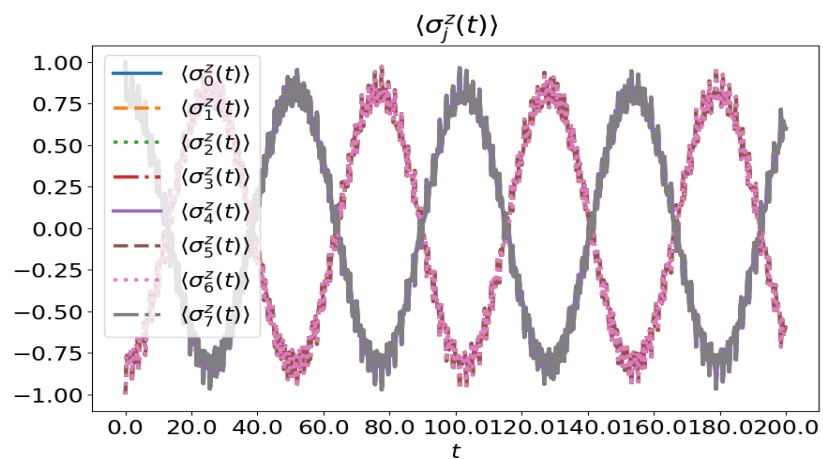
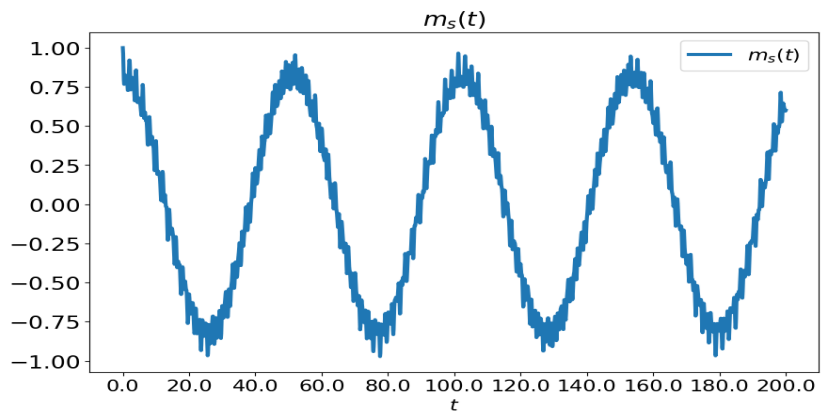
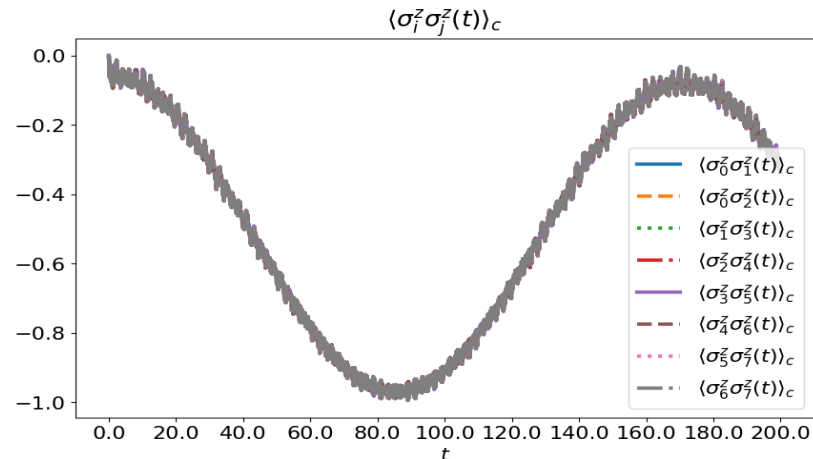
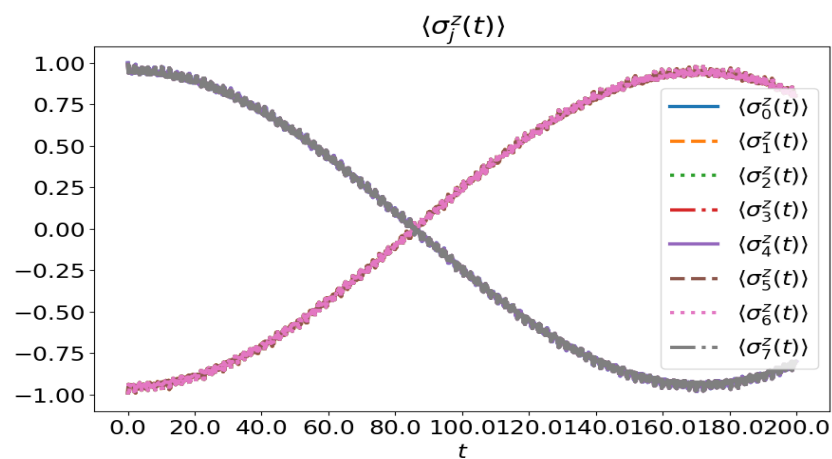
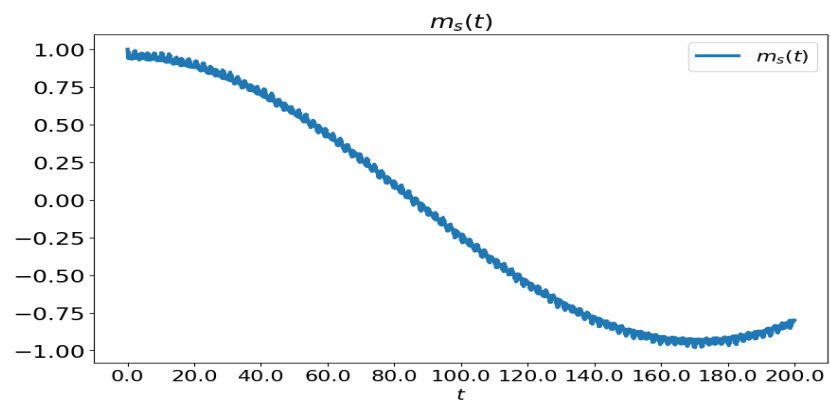
Конечная квантовая система, полностью изолированная от своего окружения, не имеет абсолютного равновесия в пределе $t \rightarrow \infty$ (*).

- Среднее по времени (по фон Нейману)

$$\overline{m_s(t)} = \frac{1}{t} \int_0^t dt' m_s(t') \xrightarrow{(Jt) > (Jt)_{\text{relax}}} \bar{m}_s$$

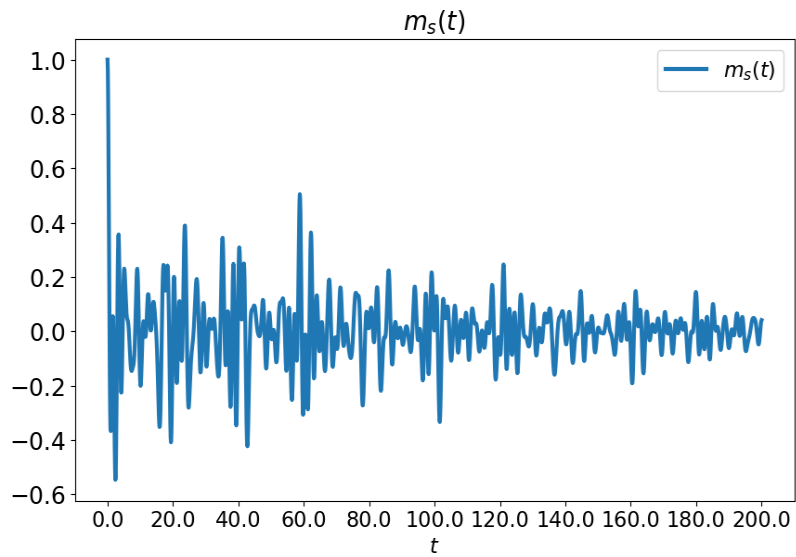
для $g \sim 0.4$, $(Jt)_{\text{relax}} \leq 5$.

- Однако, для $g > 1$, $(Jt)_{\text{relax}} \gg 1$

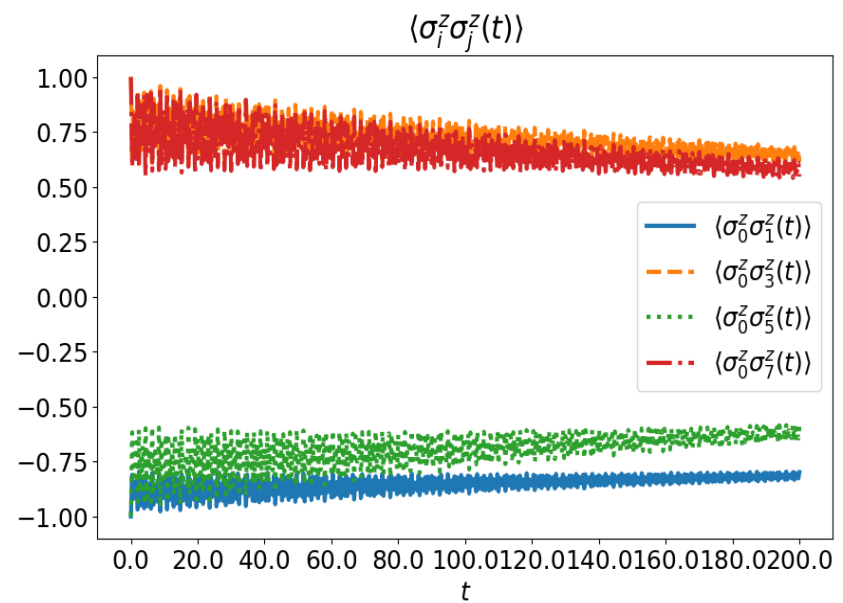
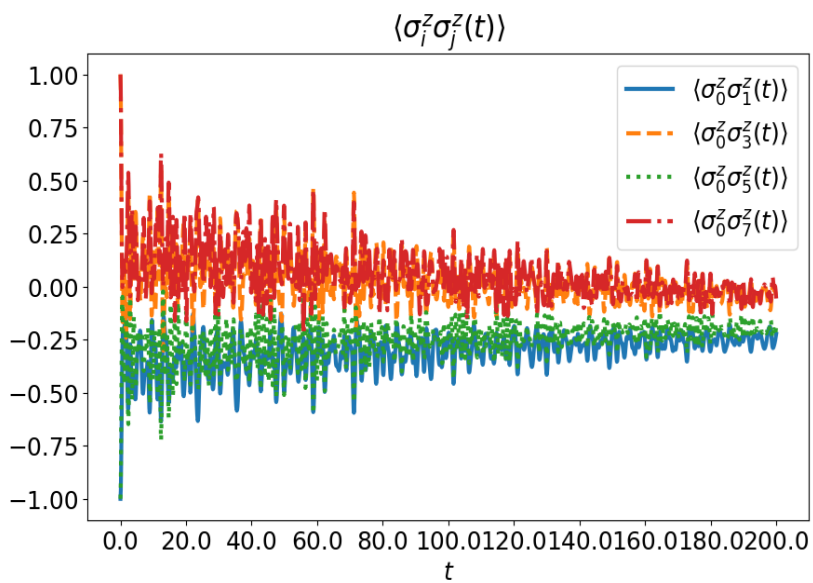
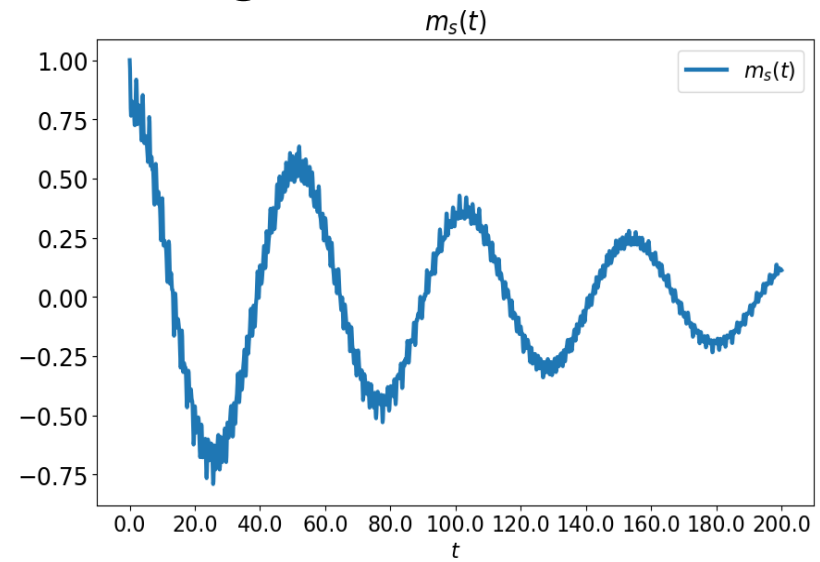
$g = 4$  $g = 8$ 

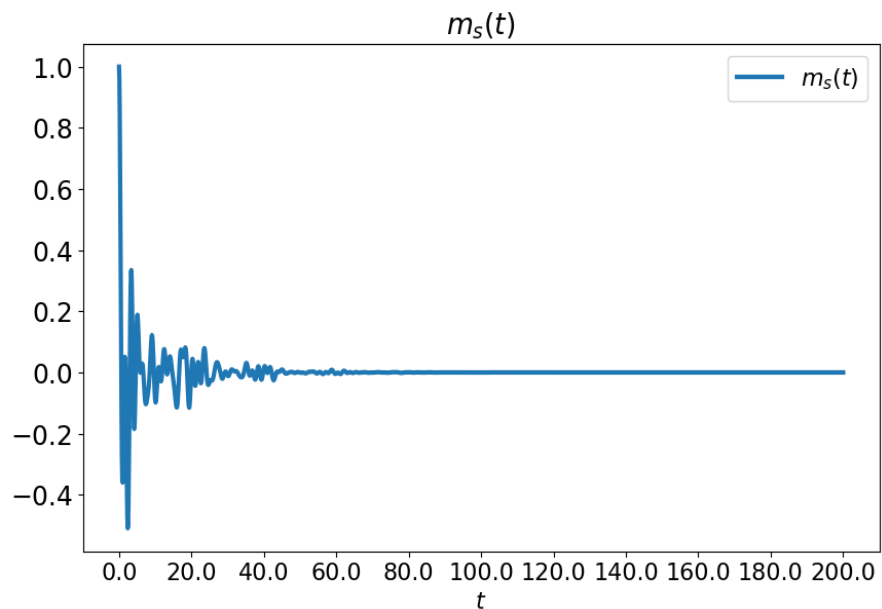
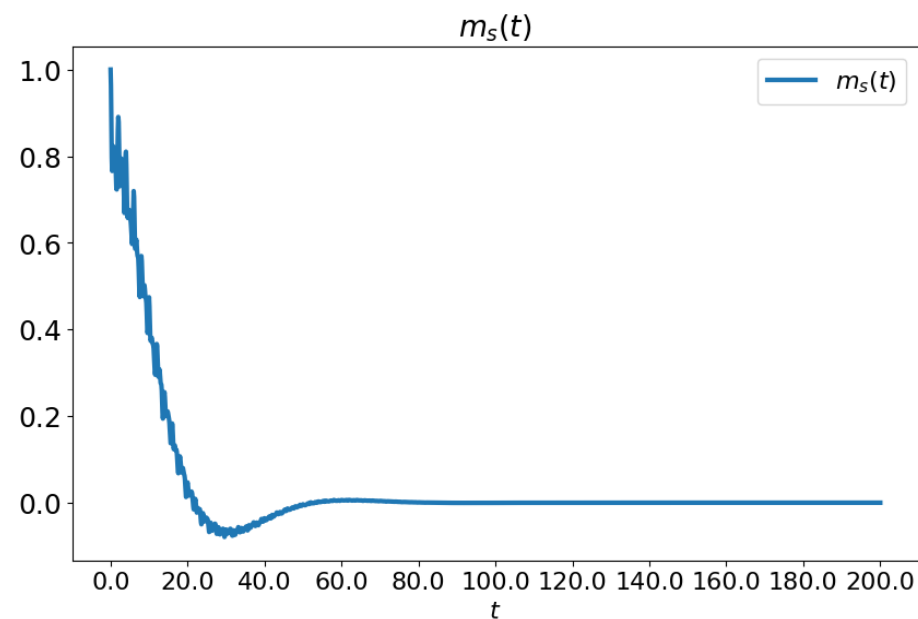
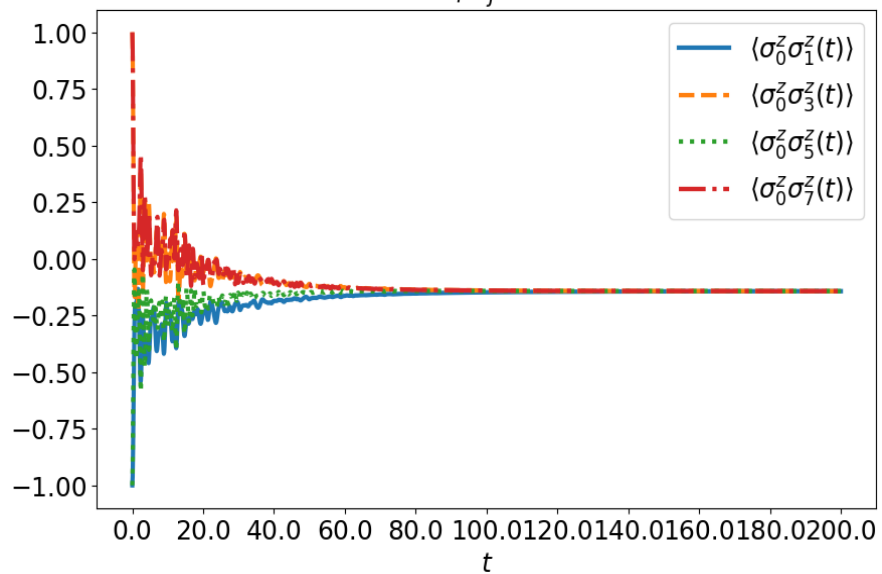
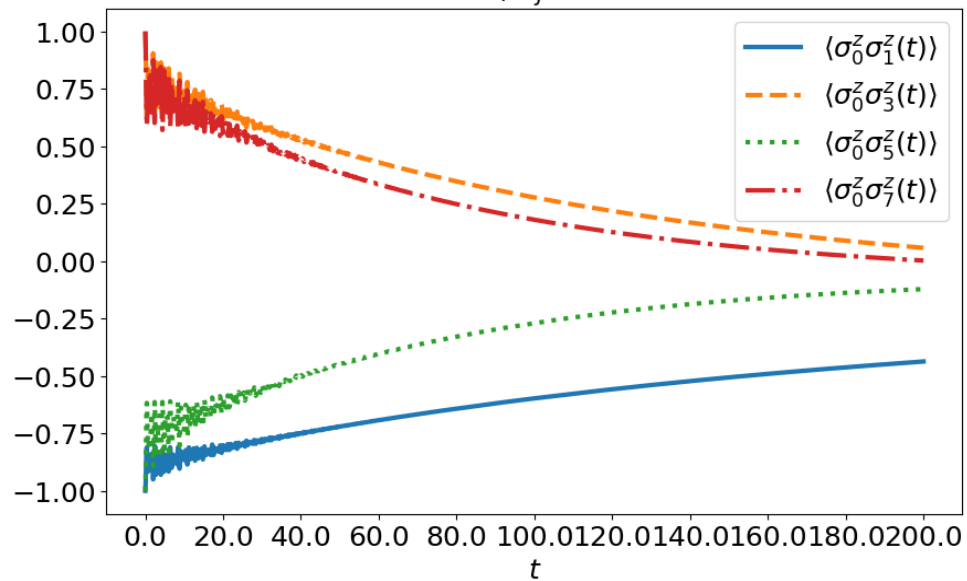
Включение дефазирующего шума за счет влияния окружения, $\gamma = 0.001$

$g = 0.4$



$g = 4$



$\gamma = 0.01$ $g = 0.4$  $g = 4$  $\langle \sigma_i^z \sigma_j^z(t) \rangle$  $\langle \sigma_i^z \sigma_j^z(t) \rangle$ 

Выводы и перспективы:

- Перспективы создания квантовых цифровых компьютеров следующего поколения открывают новые возможности для изучения неравновесной квантовой динамики конечных квантовых систем, изолированных от окружающей среды. Эта динамика раскрывает новую физику за пределами низкоэнергетических свойств, которые обычно актуальны в твердотельных многочастичных системах.
- Для конечной ($N=8$) XXZ спиновой модели со спином $1/2$, были изучены общие свойства динамики в режиме «закалки», чтобы выявить резкое изменение динамического поведения при переходе через значение параметра изинговского взаимодействия $g = 1$. Это, вероятно, предшественник гипотетического динамического фазового перехода, который происходит при $g = 1$ в термодинамическом пределе.

Благодарю за внимание

